

лефортовских тоннелей // Пожарная безопасность. – № 2, 2004. – С. 47-57.

3. Инструкция по расчету фактических пределов огнестойкости железобетонных строительных конструкций на основе применения ЭВМ. – М.: ВНИИПО, 1975. – 223 с.

4. Голованов В.И., Павлов В.В., Пехотиков А.В. Защита железобетонных тюбингов автодорожных тоннелей от хрупкого разрушения при пожаре // Пожарная безопасность. – № 2, 2008. – С. 50-55.

5. Методика определения огнезащитной эффективности средств огнезащиты железобетонных конструкций автодорожных тоннельных сооружений. – М.: ФГУ ВНИИПО, 2007.

6. Голованов В.И., Павлов В.В., Пехотников А.В. Метод определения эффективности средств огнезащиты железобетонных конструкций тоннельных сооружений // Пожарная безопасность. – № 3, 2005. – С. 30-37.

## ЭКСПЕРИМЕНТАЛЬНОЕ ИССЛЕДОВАНИЕ ПРИМЕНЕНИЯ ОБЪЕМНЫХ ШЛАНГОВЫХ ЗАРЯДОВ

К.В. Корытченко

г. Харьков, национальный технический университет  
“Харьковский политехнический институт”

Д.П. Дубинин

г. Харьков, Украинский научно-исследовательский институт  
пожарной безопасности

С.В. Говаленков

г. Харьков, национальный университет гражданской защиты Украины

Одним из способов локализации лесных пожаров является создание минерализованных и заградительных полос с помощью взрыва [1]. Анализ этих способов, моделей взрыва и особенности создания объемных шланговых зарядов посвящены работы [2-7]. В частности, в работах показано, что при одинаковой энергии взрыва, импульс давления, создаваемый зарядом объемного взрыва, превосходит импульс от взрыва конденсированных веществ [3].

Увеличение диаметра оболочки шлангового заряда приводит к возрастанию ширины заградительной полосы. Но при этом увеличиваются материальные затраты, связанные с ростом расхода топлива и массы материала оболочки на создание заряда. Таким образом, возникает задача оптимизации размеров заряда.

В результате расчетов [5,7] получено, что дальность взрывной волны объемного шлангового заряда диаметром 0,9 м при заданных внешних условиях достигает около 2,5 м и 5 м для критических перепадов давления, равных  $1,2 \cdot 10^5$  Па и  $0,4 \cdot 10^5$  Па, соответственно. Полученный результат показывает, что при данном диаметре заряда обеспечивается создание полосы шириной от 5 м до 10 м в молодом сосновом лесе высотой 3 м.

Математическое моделирование ударного воздействия на растительный покров проведено в [6,7]. В результате численного моделирования получено, что на растительный покров заданных параметров действует ударная волна с избытком давления за её фронтом более  $1,2 \cdot 10^5$  Па на ширине около 8 м [7]. Математическая модель позволила рассчитать ударное действие взрыва шлангового заряда исходя из энергии взрыва заряда топливовоздушной смеси [5]. Это позволило оптимизировать размер зарядов в диаметре и расстояние между зарядами.

Для подтверждения полученных расчетов, проведен эксперимент. Для надежного инициирования детонации заряда топливовоздушной смеси в эксперименте использовался имитатор взрыва ИМ, энергия взрыва которого соответствует взрыву 0,2 кг тротила. Учитывая тот факт, что взрыв инициирующего заряда может привести к искажению результатов измерений давления, расстояние от точки инициирования детонации до места расположения ближайшего датчика давления задавалось таким образом, чтобы до датчиков доходила только звуковая волна. Для расчета скачка давления  $\Delta P$  на датчике, возникающего под воздействием взрыва инициирующего заряда, воспользуемся формулой [8]:

$$\Delta P = 0,096(R/G^{0,33})^{-1} + 0,143(R/G^{0,33})^{-2} + 0,574(R/G^{0,33})^{-3}$$

[МПа], (1)

где  $G$  – масса инициирующего заряда в [кг],  $R$  – расстояние от заряда до датчика давления в [м].

Данная формула применима в случае малого скачка давления во фронте волны  $\Delta P \leq 0,1$  МПа. В разработанной схеме эксперимента расстояние от инициатора взрыва до ближайшего датчика составляло 10 м (рис. 1). Пользуясь формулой (1) получим, что избыток давления на датчике в результате взрыва инициатора детонации составит  $\Delta P = 6,25$  кПа. Согласно [2], величина критического давления во фронте волны, при котором происходит обрыв ЛГМ, превышает величину  $\Delta P > 0,1$  МПа. Отсюда получим, что в случае регистрации скачка давления данной величины, погрешность измерения не превысит 7%.

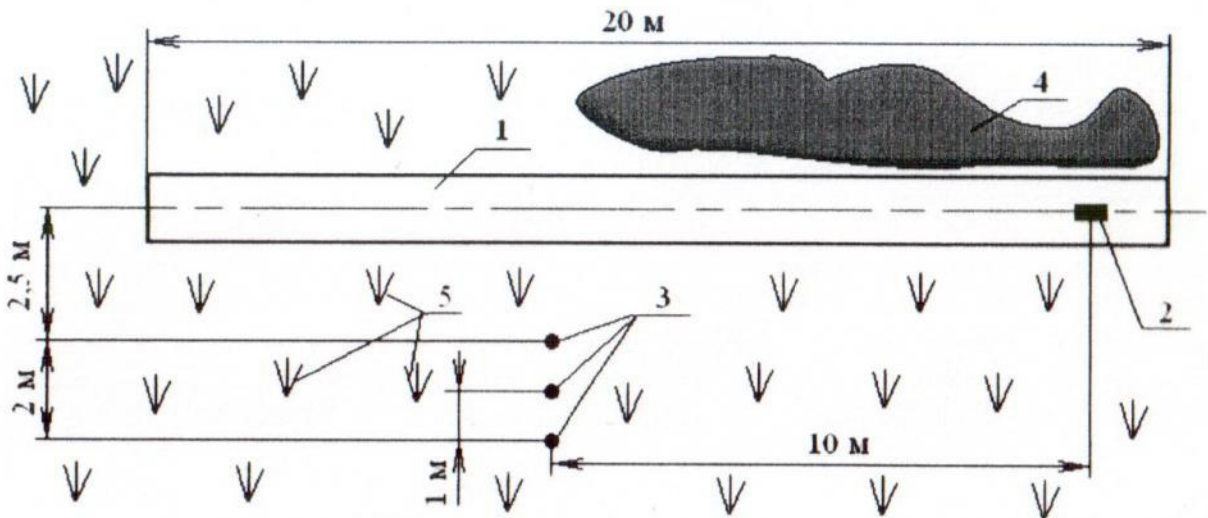


Рис. 1. Схема проведения эксперимента: 1 – объёмный шланговый заряд, 2 – инициатор детонации, 3 – датчики давления, 4 – лесной массив, 5 – травяной покров

Датчики давления располагались в один ряд на уровне грунта в травяной растительности. Средняя высота травы составляла около 15 см. Расстояние от проекции оси шлангового заряда до первого датчика равнялось 2,5 м, второго – 3,5 м, третьего – 4,5 м, что близко соответствует порядку расположения датчиков [2]. Хотя под действием веса шлангового заряда происходило смятие травы, но между поверхностью земли и зарядом оставалась прослойка высотой около  $3 \div 5$  см. Кроме измерения давления, проверялось изменение массы растительного покрова в относительных единицах. В результате получено, что травяной покров выгорает полностью, а учет массы после отжига к травяной растительности не применим.

## ЛИТЕРАТУРА

1. Рева Г.В. Метод розрахунку циліндричних відбивачів вибухових хвиль для гасіння лісових пожеж: Автореф. дис. канд. техн. Наук. – Донецьк, 2000. – 18 с.
2. Гришин А.М. Математическое моделирование лесных пожаров и новые способы борьбы с ними. – М.: Наука, 1992. – 408 с.
3. Говаленков С.В., Дубинин Д.П. Применение взрывного способа для борьбы с лесными пожарами. Системи обробки інформації: випуск 2 (76), 2009 – Харків: ХУПС ім. І. Кожедуба. С. 135-139.
4. Говаленков С.В., Дубинин Д.П. Анализ применения взрывного способа для локализации низовых лесных пожаров // Природничі науки та їх застосування в діяльності служби цивільного захисту: Матеріали ІІ міжнародної науково-практичної конференції. – Черкаси: АПБ ім. Героїв Чорнобиля, 2008. – С. 40-42.
5. Говаленков С.В., Дубинин Д.П. Особенности создания

объёмных шланговых зарядов // II міжвузівська науково-практична конференція “Актуальні проблеми технічних та природничих наук у забезпеченні цивільного захисту”. Збірник матеріалів: Частина I. – Черкаси, АПБ ім. Героїв Чорнобиля, 2009 . С.73-76.

6. Говаленков С.В., Дубинин Д.П. Математическая модель взрыва объёмного шлангового заряда в пологе леса // Актуальные проблемы пожарной безопасности: Материалы XXI межд. науч.-практ. конф. – Москва: ФГУ ВНИИПО МЧС России, 2009.

7. Скоб Ю.А., Корытченко К.В., Угрюмов М.Л., Вамболь С.А. Математическое моделирование воздействия взрыва объемного шлангового заряда на лесной фитоценоз и растительный покров. Проблемы пожарной безопасности. – Харьков: УГЗУ, 2009. – С.134-140.

8. Гельфанд Б.Е., Сильников М.В. Фугасные эффекты взрывов. – СПб.: ООО Издательство “Полигон”, 2002. – 272 с.

## КРИТЕРИИ НАПРЯЖЕННОСТИ ОБСТАНОВКИ С ПОЖАРАМИ В ЖИЛОМ ФОНДЕ МУНИЦИПАЛЬНЫХ ОБРАЗОВАНИЙ

А.С. Кубарев

г. Хабаровск, Дальневосточный региональный центр МЧС России

Предлагается методика ранжирования муниципальных образований по критериям, характеризующим напряженность обстановки с пожарами в жилом фонде по группам показателей, учитывающих число пожаров, их экономические и социальные последствия, а также причины пожаров.

Актуальность темы исследования обусловлена тем, что дефицит местных бюджетов вызывает необходимость выделения муниципальных образований с наиболее напряженной обстановкой с пожарами в жилом фонде. Работы, выполненные учеными ВНИИПО МЧС России, ВНИИ ГО и ЧС МЧС России, ВСИ МВД России и других [1–3] свидетельствуют о необходимости дальнейшего развития этого направления исследований системы обеспечения пожарной безопасности территорий.

При разработке методики ранжирования муниципальных образований по напряженности обстановки с пожарами в жилом фонде прежде всего определили перечень частных показателей, характеризующих эту обстановку. В результате анализа более чем пятидесяти показателей оперативной пожарной обстановки в жилом фонде муниципальных образований в качестве частных выбраны